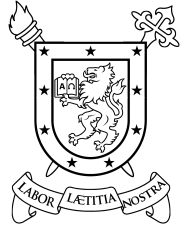


UNIVERSIDAD DE SANTIAGO DE CHILE
FACULTAD DE INGENIERÍA
Departamento de Ingeniería Informática



Algoritmos de predicción y distribución de carga para el grafo lógico en
los sistemas de procesamiento de *stream*

Daniel Pedro Pablo Wladdimiro Cottet

Profesor guía: Nicolás Hidalgo Castillo

Profesor co-guía: Erika Rosas Olivos

Tesis de grado presentada en
conformidad a los requisitos para
obtener el grado de Magíster en
Ingeniería Informática

Santiago – Chile

2015

© Daniel Pedro Pablo Wladdimiro Cottet - 2015



• Algunos derechos reservados. Esta obra está bajo una Licencia Creative Commons Atribución-Chile 3.0. Sus condiciones de uso pueden ser revisadas en:
<http://creativecommons.org/licenses/by/3.0/cl/>.

Dedicado...

AGRADECIMIENTOS

Agradezco a

TABLA DE CONTENIDO

Índice de Figuras	ix
Índice de Algoritmos	xi
Resumen	xiii
Abstract	xv
1 Introducción	1
1.1 Antecedentes y motivación	1
1.2 Descripción del problema	3
1.3 Solución propuesta	3
1.4 Objetivos y alcance del proyecto	5
1.4.1 Objetivo general	5
1.4.2 Objetivos específicos	5
1.4.3 Alcances	5
1.5 Metodología y herramientas utilizadas	6
1.5.1 Metodología	6
1.5.2 Herramientas de desarrollo	7
1.6 Resultados Obtenidos	7
1.7 Organización del documento	7
2 Marco Teórico	9
2.1 Streaming	9
2.2 Stream processing	10
2.3 Sistemas de Procesamiento de Stream	11
2.4 Elasticidad	15
2.5 Procesos estocásticos	16
2.5.1 Cadena de Markov	17
2.5.2 Trabajo relacionado	19
2.6 Teoría de colas	20

3 Balance de carga en SPS	23
3.1 Perspectivas de balance de carga	23
3.1.1 Recursos físicos	23
3.1.2 Recursos lógicos	24
3.1.3 Enfoque estático	24
3.1.4 Enfoque dinámico	26
3.2 Técnicas de balance de carga	27
3.2.1 Planificación determinista	27
3.2.2 Load Shedding	28
3.2.3 Migración	29
3.2.4 Fisión	30
4 Diseño del sistema de distribución de carga	33
4.1 Análisis del sistema de distribución de carga	33
4.2 Recolección de los datos	36
4.3 Algoritmo reactivo	37
4.4 Algoritmo predictivo	38
4.5 Administración del sistema	41
Referencias	45
Anexos	49
A Conformación de matriz de transición	51

ÍNDICE DE FIGURAS

Figura 2.1 Flujo de datos entre el servidor y los clientes.	9
Figura 2.2 Ejemplo de modelo de SPS.	12
Figura 2.3 Modelo push.	14
Figura 2.4 Modelo pull.	15
Figura 2.5 Elasticidad en un SPS.	16
Figura 2.6 Proceso de Markov.	17
Figura 2.7 Cadena de Markov.	18
Figura 2.8 Ejemplo de cadena de Markov.	18
Figura 2.9 Ejemplo de un sistema basado en teoría de colas.	21
Figura 3.1 Load shedding en un SPS.	29
Figura 3.2 Técnica de migración en un SPS.	30
Figura 3.3 Técnica de fisión en un SPS.	31
Figura 3.4 Ejemplo de replicación de los operadores (Fernandez et al., 2013).	32
Figura 4.1 Enfoque de un SPS con conceptos de teoría de colas.	34
Figura 4.2 Estructura del sistema de distribución de carga.	35
Figura 4.3 Estados de la tasa de procesamiento.	38
Figura 4.4 Cadena de Markov dado el modelo propuesto del sistema.	39

ÍNDICE DE ALGORITMOS

4.1	Algoritmo reactivo del sistema de distribución de carga.	37
4.2	Cálculo de la distribución estacionaria de la cadena de Markov de un operador ϕ	41
4.3	Algoritmo predictivo del sistema de distribución de carga.	41
4.4	Administración de réplicas de un operador ϕ dado su comportamiento en el sistema de distribución de carga.	42
A.1	Algoritmo para la conformación de la matriz de transición.	51

RESUMEN

resumenBlaBlaBla

Palabras Claves: SPS;Elasticidad;Algoritmos reactivos

ABSTRACT

abstractBlaBla

Keywords: SPS;Elastic;Algorithm reactive;Algorithm predictive

CAPÍTULO 1. INTRODUCCIÓN

1.1 ANTECEDENTES Y MOTIVACIÓN

La gran contribución de información en la Internet se ha debido al origen de la Web 2.0, donde ésta se caracteriza por la participación activa del usuario, siendo reflejado en el auge de blogs, redes sociales u otras aplicaciones web (Oberhelman, 2007). Debido a lo anterior, se crean sistemas de procesamiento para grandes cantidades de información generadas por la interacción entre los usuarios.

Es así como con el tiempo se han ido creando distintas aplicaciones de *streaming*, debido al interesante funcionamiento que poseen, las que se caracterizan por ser capaces de procesar grandes flujos de datos en tiempo real (Chen & Zhang, 2014). La necesidad de procesar información en tiempo real surge dado que muchas aplicaciones, donde sus usuarios requieren de respuestas rápidas y actualizadas que le permitan tomar decisiones en períodos cortos de tiempo. Dentro de los ejemplos existentes se encuentran; análisis de sentimientos de los mensajes de usuarios, análisis de los precios de la bolsa de valores, recopilación de información en caso de emergencia, entre otros. Las distintas aplicaciones que se han creado se volvieron críticas para sus usuarios, debido que sustenta la toma de decisiones de empresas o instituciones (Wenzel, 2014).

Un ejemplo de esto, es aplicaciones que analizan las redes sociales en caso de un desastre natural, donde grandes cantidades de información son procesadas, procesando esta información lo más cercano al tiempo real para obtener información que sea relevante para la situación (Andrade et al., 2014). De esta manera, se puede construir un sistema distribuido que pueda procesar los datos realizando análisis de sentimiento, búsqueda de palabras claves o filtros de búsqueda, ya sea por idioma, país o género, realizando un procesamiento lo más cercano al tiempo real. Con esta información, se puede realizar análisis de sectores críticos, búsqueda de personas o aviso de alertas, lo cual sería crucial para tomar decisiones en estos momentos.

Por otra parte, también es utilizado estos sistemas de procesamiento para predicciones en la bolsa de comercio, de esta manera, se crean sistemas de

procesamiento de los datos que vayan llegando en el día, de tal manera con estos datos existan modelos matemáticos que predican el comportamiento para el siguiente día. Con estos sistemas, la ganancia que existe por parte de las personas interesadas puede aumentar considerablemente, por lo que ha generando un alto interés en el desarrollo e investigación en esta área con el transcurso del tiempo.

También se aplica en casos de seguridad, dado que se realiza un monitoreo de la actividad que surge por parte de los usuarios que interactúan en una red específica. Esto es útil para empresas o ministerios que poseen información privilegiada, y en caso que alguien desee realizar respaldos o eliminar información sin consentimiento de los encargados, puede detectarse la persona y generarse una alarma de preventiva a las autoridades. Como la información es procesada en tiempo real, la cantidad de datos que pueden irse procesando hace que el retraso de la información procesada sea baja, de esta manera, ayuda a detectar a tiempo las posibles acciones de usuarios maliciosos.

Entre los sistemas actuales de procesamiento de *stream* se encuentran S4 (Neumeyer et al., 2010), Storm (Storm, 2014), Samza (Samza, 2014), entre otros, los cuales son los más utilizados como arquitectura de procesamiento en la confección de distintas aplicaciones de *streaming*. Aunque poseen bastante flexibilidad para la creación de un sistema, por la facilidad de crear distintas topologías, no lo tiene para adaptarse en el tiempo, debido a que las topologías de procesamiento generadas son estáticas, por lo que dada la naturaleza dinámica de las interacciones pueden surgir problemas de sobrecarga.

El problema de sobrecarga conlleva a una baja en el rendimiento, produciendo una pérdida de recursos, tiempo o información. Abortar este problema es crítico, puesto que implica una mejora en la exactitud y disminución en el tiempo de procesamiento, debido que al tener mayor cantidad de datos, menor tiempo de procesamiento, se mejora la información entregada. Un ejemplo de esto, es que se posee un tiempo t para procesar n datos, de disminuir el tiempo de procesamiento total de los datos, se tendrá que en el mismo tiempo t se procesarán una cantidad $n + m$ de datos, donde m son los datos adicionales a analizar debido a la mejora del rendimiento. Como existe una mejora en la cantidad de datos para analizar, la

información de salida es más exacta, debido que tiene más datos con que comparar. De esta manera, se efectúa una mejora en los recursos utilizados, debido a la disminución del tiempo de procesamiento, y una mejor calidad en la información entregada al usuario.

1.2 DESCRIPCIÓN DEL PROBLEMA

Los SPS (Sistemas de Procesamiento de *Streaming*) están planteados como un grafo cuyas vértices son operadores y las aristas son flujo de datos entre los operadores. Dada su representación, puede existir sobrecarga del sistema a producto de factores físicos o lógicos. El factor físico se define como los componentes que posee la máquina, los cuales pueden ser limitantes para el sistema alojado. En cambio, el lógico se concentra en los componentes del grafo, por lo que existe una limitante en la cantidad de operadores o la cantidad de flujo existente entre los operadores.

Debido a lo anterior, existe un problema en el sistema a raíz de la sobrecarga que puede darse en el sistema debido a los distintos factores lógico, como la cola de cada operador, por la falta de flexibilidad del SPS en los operadores más demandados. Esto sucede dada la condición estática del grafo, es decir que no varía la topología del grafo con el tiempo, por lo que no existe una forma de disminuir la carga y reducir las colas, de tal manera de mejorar el rendimiento del sistema y obtener información cercana al tiempo real.

1.3 SOLUCIÓN PROPUESTA

La solución propuesta consiste en el diseño de algoritmos de predicción y distribución de carga a nivel de la lógica del grafo. Por lo que propone implementar cuatro módulos que componen la estructura del sistema de distribución de carga para el diseño de los algoritmos, los cuales se componen por el monitor de carga, analizador de carga, predictor de carga y administrador de réplicas.

El monitor de carga está encargado de recuperar el nivel de carga de cada uno de los operadores. Esta información es entregada a otros dos módulos, los cuales están encargados de procesarla de tal manera de ver si existe alguna sobrecarga. Cada uno de éstos trabaja de forma independiente y tiene distintos métodos, uno proactivo y otro reactivo, de tal manera de poseer mayor exactitud en la detección de una sobrecarga.

El analizador de carga consiste en un método reactivo, el cual analiza el tráfico de los operadores en el tiempo actual, y cuantifica su carga. La sobrecarga de cada operador depende de un umbral, por lo que según esto se envía al administrador de réplica el tráfico de cierto operador de ser necesario una replicación.

El predictor de carga consiste en un método proactivo, el cual analiza la carga de los distintos operadores según una ventana de tiempo, y predice la carga según un método predictivo. De esta manera, se determina la posible carga que existe en cierto período de tiempo futuro, donde según un umbral y un margen de error se envía el tráfico de carga de un operador al administrador de réplicas, y así analizar si es necesario una replicación.

El administrador de réplicas se alimenta de la información entregada por los dos módulos anteriores, y así toma una decisión de la administración de cada una de las réplicas de los distintos operadores. Por lo tanto, verifica cuántas réplicas son necesarias según la cantidad de tráfico de cierto operador.

Finalmente, el sistema de procesamiento constantemente está realizando un *feedback* al sistema de optimización, de tal manera que pueda administrar las réplicas necesarias. De esta manera, se poseerá un sistema procesa información de manera más rápida, a través de este sistema de optimización con bajo *overhead*.

1.4 OBJETIVOS Y ALCANCE DEL PROYECTO

1.4.1 Objetivo general

Diseño, construcción y evaluación de un algoritmo de predicción y un algoritmo de distribución de carga para sistemas de procesamiento de *stream*.

1.4.2 Objetivos específicos

1. Diseñar e implementar un algoritmo de predicción que permita estimar la carga de los operadores.
2. Diseñar e implementar un algoritmo de distribución que permita la administración de los operadores del grafo de procesamiento de forma elástica.
3. Diseñar y construir experimentos que permitan validar la hipótesis formulada.
4. Evaluar y analizar el rendimiento del sistema a través de aplicaciones generadas sobre sistemas de procesamiento de *stream*.

1.4.3 Alcances

Dentro de los alcances y limitaciones que se tienen en el proyecto son:

- La evaluación de la solución presentada se implementará sobre un solo sistema de procesamiento de *stream*.
- Se evalúo con al menos una aplicación bajo escenarios simulados utilizando datos reales.
- La distribución de flujo de datos es a nivel de operadores y no de nodos físicos, por lo que no se analizó la carga de estos últimos.

- Los algoritmos propuestos no incluyen técnicas que garanticen el procesamiento de todo el flujo de datos.
- En la evaluación de los algoritmos propuestos se consideró el costo de comunicación de manera igualitaria para todos los operadores.

1.5 METODOLOGÍA Y HERRAMIENTAS UTILIZADAS

1.5.1 Metodología

Dado el carácter de investigación de la propuesta de tesis, se propone utilizar el método científico para la realización de ésta. Dentro de las etapas propuesta por (Hernández Sampieri et al., 2010) están:

1. Formulación de la hipótesis: “La utilización de un modelo híbrido de paralelización que permitirá mejorar la distribución de carga entre los operadores de manera dinámica, logrando reducir los tiempos de procesamiento y pérdida de eventos”.
2. Elaboración del marco teórico: Exponer las investigaciones que existen sobre problemas de sobrecarga en los operadores de SPS. Así mismo, los conceptos fundamentales de estos sistemas.
3. Seleccionar el diseño apropiado de investigación: Diseñar el experimento para el problema de balance de carga a nivel lógico en un SPS, vale decir, los algoritmos de predicción y distribución. Cada ejecución de los experimentos se basan según los principios de un SPS.
4. Analizar los resultados: De deberá analizar los resultados según las estadísticas entregadas y el modelo propuesto.
5. Presentar los resultados: Elaborar el reporte de investigación y presentar los resultados en gráficos y tablas.
6. Concluir en base a los resultados de la investigación.

1.5.2 Herramientas de desarrollo

Para el procesamiento de *stream* se utilizó Apache S4 0.6.0, por lo que fue necesario para su configuración Java SE Development Kit 7. Dentro esto, el lenguaje de programación de cada una de las estructuras del sistema desarrollado fue en Java, por lo que se trabajó sobre el IDE Eclipse Standard 4.4.2, y para el prototipo del modelo matemático se utilizó MATLAB 2014a. De forma complementaria, se utilizó Texmaker 4.1 para la confección de los distintos informes requeridos y la documentación correspondiente al trabajo.

1.6 RESULTADOS OBTENIDOS

Pam pam !

1.7 ORGANIZACIÓN DEL DOCUMENTO

Pam pam pam !

CAPÍTULO 2. MARCO TEÓRICO

2.1 STREAMING

Streaming es una técnica para la transferencia de datos de forma continua, de tal manera que sea temporal y secuencial, cuyo funcionamiento se basa en el envío de datos por parte de un ente externo a un sistema de procesamiento de información, donde en caso de estar ocupado el servicio, se dejan los datos en cola. Generalmente, esto es utilizado en la interacción con la Web, como redes sociales o reproducción *online* de contenido multimedia. En la Figura 2.1 se muestra un servidor que emana un flujo de datos que llega a distintos clientes, donde cada uno de ellos procesa la información entrante, y en caso de estar ocupado el procesamiento, se guarda en un *buffer* los datos para posteriormente ser procesados.

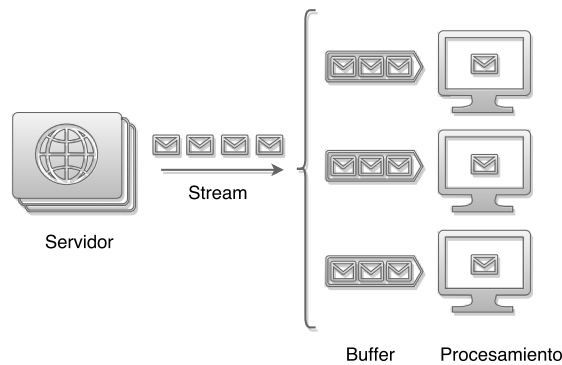


FIGURA 2.1: Flujo de datos entre el servidor y los clientes.

Este tipo de técnica es útil cuando se desea procesar información en tiempo real, siendo relevante la temporalidad de los datos, como la reproducción *online* de material multimedia. Los datos emanados por el *streaming* pueden ser utilizados para el análisis y procesamiento de una SPS (Sistema de Procesamiento de *Stream*). Un ejemplo de esto, es el *Streaming API* proporcionada por Twitter, donde esta información se puede utilizar para estudiar los *trending topic* o los *hashtag* más utilizados para casos específicos, como campañas electorales o desastres naturales.

2.2 STREAM PROCESSING

Stream processing es un paradigma de programación, en el cual está orientado al procesamiento de un flujo de datos en tiempo real. Se centra en la programación de aplicaciones que puedan procesar la información en el momento, utilizando los recursos del sistema de forma paralela o distribuida para cumplir su objetivo, de tal manera que su procesamiento sea lo más cercano al tiempo real.

Dentro de las aplicaciones existentes en el procesamiento de *stream*, están el monitoreo de signos vitales, detección de fraudes, reproducción de videos *online*, y para cada uno de ellos es necesario cumplir con ciertas características para el funcionamiento correcto del sistema. Para ello, se han propuesto ciertos requerimientos para el procesamiento continuo de datos (Andrade et al., 2014), los cuales serán desglosados a continuación:

- **Grandes cantidades de procesamiento de datos distribuidos** Esto significa que al tratar de procesar los datos, no se puede guardar en una base de datos y luego procesarlos, como en general lo realizan los *batch processing*, por lo tanto es necesario otro mecanismo que pueda procesarlos mientras va llegando la información entrante. Por lo que utilizar *stream processing* soluciona este problema, dado que la información entrante es procesada a medida que van llegando los datos.
- **Estrictas limitaciones de ancho de banda y latencia** Se refiere a la comunicación que existe por parte del proveedor de datos, de tal manera que no sea una limitante en el procesamiento de los datos el ancho de banda o la latencia que existe. Esto es importante, dado que no sirve un sistema de estimación de la bolsa del mercado que a producto de la latencia existente, envíe datos obsoletos. Siempre se debe mantener una baja latencia, para poseer los datos lo más cercano al tiempo real.
- **Procesamiento de datos heterogéneos** En su mayoría, los datos poseen distintos formatos, contenidos y niveles de ruido, por lo que es necesario realizar una normalización de estos, de tal manera de estandarizar el procesamiento.

- **Proporcionar alta disponibilidad a largo plazo** Es importante poseer un constante flujo de información, que sea estable y persistente en el tiempo, de tal manera que esté procesando constantemente los datos para el propósito designado. Por ejemplo, si se posee un sistema de análisis de partículas en el espacio, es necesario que posea una tolerancia a falla, para que en el caso que exista una anomalía, siga manteniéndose una disponibilidad por parte del sistema, y no se pierda el objetivo de observar en tiempo real y procesar esa información entrante.

2.3 SISTEMAS DE PROCESAMIENTO DE STREAM

Entre los diferentes motores de procesamiento de datos masivos, existen los sistemas de procesamiento de *stream*, los cuales reciben grandes cantidades de datos que deben procesar de forma distribuida y *online*. Para realizar esto, se requiere un cambio en el paradigma *batch processing*, el cual guarda los datos en una base de datos, los que posteriormente son procesados de forma *offline* (Hawwash & Nasraoui, 2014), a uno que procese de forma *online*. El paradigma utilizado se basa en grafos, donde los operadores corresponden a las vértices del grafo, y las aristas a los flujos de datos que salen del operador, siendo los datos proporcionados por un ente externo, ya sea *streaming* de datos de redes sociales, estadísticas del monitoreo de un sistema u otra información deseada en tiempo real (Shahrivari, 2014).

El modelo de procesamiento que se muestra en la Figura 2.2, corresponde a un SPS (Sistema de Procesamiento de *Stream*). Como se había mencionado anteriormente, los vértices corresponden a operadores, como por ejemplo analizadores de sentimientos, filtros de palabras o algún algoritmo en particular, y las aristas corresponden a los flujos de datos entre un operador y otro. Además de esto, se tiene una fuente de datos, la cual entrega los datos iniciales a los primeros operadores del grafo (Appel et al., 2012).

Cabe destacar que al ser distribuido los SPS, cada uno de los vértices del grafo serán alojados en un nodo disponible en el ambiente que se esté almacenado

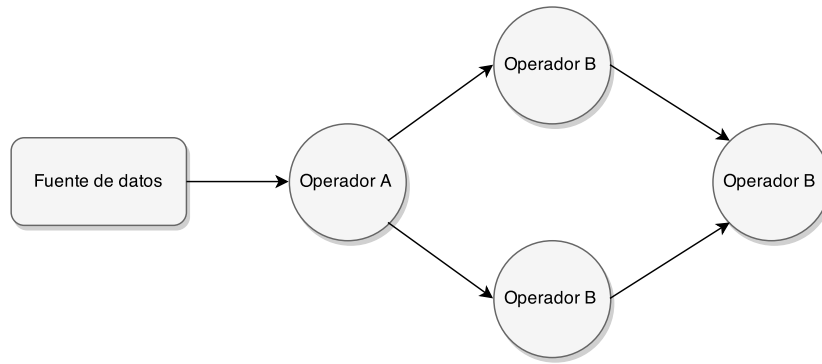


FIGURA 2.2: Ejemplo de modelo de SPS.

el sistema, ya sea un *cluster*, un *grid* o un *Infrastructure-as-Service*. Por lo tanto, se debe realizar una comunicación entre los distintos nodos, para realizar el envío del flujo de un operador a otro.

Los principales usos que se realizan en los SPS es el manejo de grandes cantidades de información, los cuales son procesados para obtener estadísticas o datos específicos de esto, como es el caso de detección de fraudes, recolección de información en caso de desastres o análisis de la interacción en las redes sociales. Para efectuar una procesamiento en tiempo real de los datos, se han propuesto los siguientes requerimientos (Stonebraker et al., 2005):

- **Baja latencia** Este concepto está asociado con la comunicación fluida entre los distintos nodos que estén trabajando en el sistema, de tal manera que no exista *delay* en el procesamiento del sistema.
- **Consultas SQL** Poder realizar consultas a una base de datos, sin perder las propiedades del SPS, como el procesamiento distribuido. Para esto, se debe realizar un cambio en la forma de ejecutar las consultas, debido que no sólo es necesario realizar la consulta, sino también realizar un *merge* de las respuestas, por lo que es necesario diseñar de una forma distinta el sistema a las formas convencionales.
- **Manejo de fallas en el flujo de dato** Esto significa que es importante poseer sistemas que no se preocupen de la pérdida en los datos, debido que se posee como premisa que se van a perder datos en el procesamiento de estos, ya sea por las colas, *delay* existente u otra anomalía existente. Por lo tanto, al esquematizar

el sistema es necesario lidiar con este tipo de fallas, ya sea diseñando márgenes de error u obviando esta pérdida en el procesamiento de los datos.

- **Generar resultados predecibles** Cuando se realizan consultas en el sistema, existe la posibilidad que sean correctas sólo por un período de tiempo, debido a alguna falla en el sistema que genere una pérdida en el estado del operador. Por lo tanto, es necesario garantizar que el resultado sea predecible y persistente en el tiempo, ya sea respaldando la información u otro mecanismo, de tal manera que si se realiza una consulta, el resultado sea siempre igual u homólogo con el transcurso del tiempo.
- **Integrar almacenamiento de datos y *Streaming Data*** En general, cuando se trabaja con procesamiento de datos, es importante guardar estados en el sistema, de tal manera que los datos entrantes vayan verificando, modificando o eliminado la información que se posea. En un operador que cuente palabras, es necesario soportar variables que guarden las estadísticas de la información entrante. Otro tema importante es la uniformidad de los datos, como se había presentando en el tópico anterior de *Streaming*, siempre se va a trabajar con datos heterogéneos, por lo que se requiere estandarizarlos para su procesamiento, de esta manera, no existirá una discordancia en la información procesada.
- **Garantizar la seguridad y disponibilidad de los datos** Este requerimiento está orientado en poseer mecanismos de *checkpoint*, técnica utilizada para respaldar el estado del operador cada cierto período de tiempo, y tolerancia a falla, por lo que en caso de existir alguna anomalía, pueda volver el sistema a estar disponible y sin perder una cantidad considerable de información, ya sea en las estadísticas o estados del sistema.
- **Partición y escalabilidad automática de las aplicaciones** Es importante también distribuir la carga entre distintos procesadores o máquinas, deseando idealmente una escalabilidad incremental, esto significa que el flujo de datos sea entregado a los distintos recursos que se posean y en caso de necesitar más recursos, incrementar lo que se poseen (Tanenbaum & van Steen, 2007). Si bien no sucede siempre, se espera que esto sea automático y transparente.

- **Procesamiento y respuesta instantánea** Cuando se plantea el uso de los SPS, se apuesta por un sistema que entregue respuestas en un tiempo lo más cercano al real, se hace necesario lidiar con las sobrecargas de flujos de datos que puedan generarse, las cuales afectan al rendimiento del sistema. Por lo tanto, se hace necesario una optimización con bajo *overhead*, esto quiere decir con bajo costo de implementación o recursos necesarios para su funcionamiento, aumentando la eficiencia y rendimiento del sistema.

Cada sistema de procesamiento de *streaming* está basado en un modelo de procesamiento en particular. Por ejemplo, S4 está basado en el modelo de procesamiento *push* (Neumeyer et al., 2010), y Storm en el modelo *pull* (Storm, 2014).

El primer modelo consiste en el envío de datos desde el operador. La ventaja de este modelo empleado por S4 radica en la abstracción en el envío de datos, sin embargo no asegura el procesamiento de estos, debido a que no existe un mensaje de respuesta al ser entregado al operador. En la Figura 2.3 se puede ver el Operador A como envía los datos al Operador B, donde en caso que esté procesando un dato el Operador B, éste lo guardará en cola. No existe algún mecanismo para asegurar que llegue efectivamente el dato, puede darse el caso que por falla de la red no se haya enviado u otro motivo, por lo que existe una abstracción en el envío de los datos.

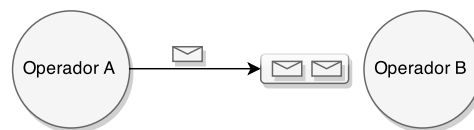


FIGURA 2.3: Modelo push.

En cambio, en el segundo modelo se basa en la petición de datos a un operador, por lo que son enviados solo si son requeridos. Si bien este modelo asegura procesamiento de los datos, genera una menor abstracción al programador, dado que en el primer modelo sólo se indica a que operador deben ir los datos, en cambio en el segundo se debe indicar quién lo envía y quién lo recibe. En la Figura 2.4 se puede ver que existen dos operadores, donde en la parte (a) se solicita por parte del Operador

B el envío de un dato para ser procesado, donde en la parte (b) el Operador A envía el dato para que posteriormente sea procesado por el Operador B.

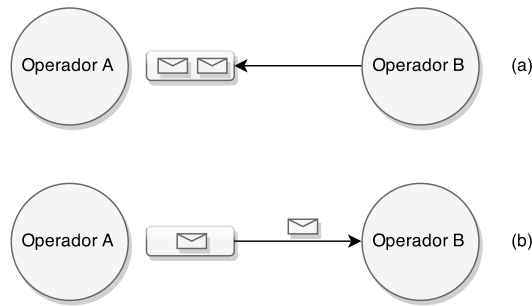


FIGURA 2.4: Modelo pull.

2.4 ELASTICIDAD

La propiedad de elasticidad en el área de *Cloud Computing* o *SPS*, está relacionado con la capacidad que el sistema tiene de adaptarse dinámicamente. Esto quiere decir que aumente o disminuya los recursos que se utilicen, para que funcione de manera eficiente.

En el caso de *Cloud Computing*, existen estudios que han trabajado con esta propiedad como (Gong et al., 2010; Nguyen et al., 2013; Lehrig et al., 2015), donde el sistema se comporta de forma elástica, determinando dinámicamente la cantidad de máquinas virtuales necesarias en el sistema. Por otra parte, en los SPS, existen trabajos como (Gedik et al., 2014; Ishii & Suzumura, 2011; Schneider et al., 2009; Madsen et al., 2014; Gulisano et al., 2012), en que el sistema de forma dinámica determina la cantidad de operadores necesarios para realizar una tarea en específico, como se ve representando en la Figura 2.5, donde la cantidad de operadores B cambia dinámicamente según el rendimiento del sistema.

Un ejemplo práctico de elasticidad es el supermercado, donde se debe considerar la cantidad de cajas necesarias para atender de manera eficiente los n clientes que van llegando en un período de tiempo. Si se estudia el período de la mañana, en general, es tiene un bajo flujo de personas que acude al supermercado, en comparación con la tarde, pero alto con la medianoche. Por lo tanto, en los

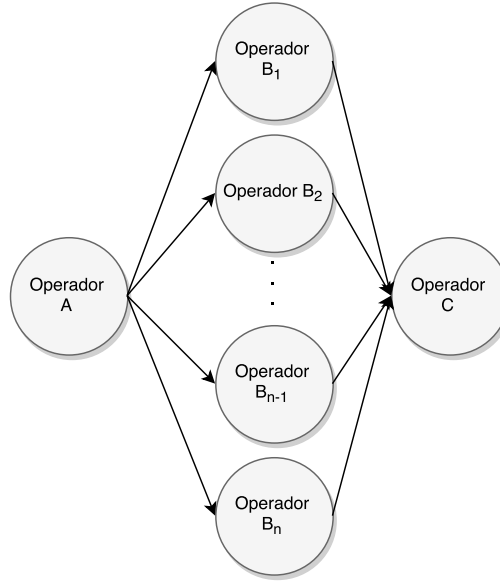


FIGURA 2.5: Elasticidad en un SPS.

horarios de la tarde es necesario poseer una mayor cantidad de cajas disponibles que en la tarde, disminuyendo la cantidad cuando el horario bordea la media noche, adaptándose de forma elástica la cantidad de cajas disponibles en el supermercado.

2.5 PROCESOS ESTOCÁSTICOS

Se define proceso estocástico como una colección de variables aleatorias X_t , con $t \in T$, las cuales están determinadas por algún comportamiento en el tiempo t . Esto significa que cada variable estará tratada de forma discreta en el tiempo, sin poseer un proceso determinístico entre sus variables, es decir, que las variables dependen de la historia (Taylor & Karlin, 2014).

Por lo tanto, se puede definir un estado como el posible comportamiento que puede tener una variable aleatoria en el sistema. Un ejemplo de esto es un modelo que contemple tres estados: estable, inestable y ocioso, y que según el valor de la variable aleatoria vaya cambiando de un estado a otro. Un caso de estudio utilizando el concepto de estados son las cadenas de Markov, las cuales consideran distintos estados que representan un comportamiento del sistema, habiendo una probabilidad de cambiar de un estado a otro (De Sapio, 1978).

2.5.1 Cadena de Markov

Sea X_t el valor de una variable aleatoria X en un tiempo t . El conjunto de todos los valores posibles para X se llama espacio de estado (Ching & Ng, 2006). La variable aleatoria es un proceso de Markov si las probabilidades de transición entre dos estados cualquiera de Ω (definido como el universo de posibles estados), sólo depende del estado actual, como se denota en la Ecuación 2.1 y gráficamente en la Figura 2.6. Cabe destacar que este tipo de proceso es un caso específico de los procesos estocásticos.

$$P_r(X_{t+r} = S_j | X_0 = S_k; X_1 = S_l; \dots; X_t = S_i) = P_r(X_{t+1} = S_j | X_t = S_i) \quad (2.1)$$

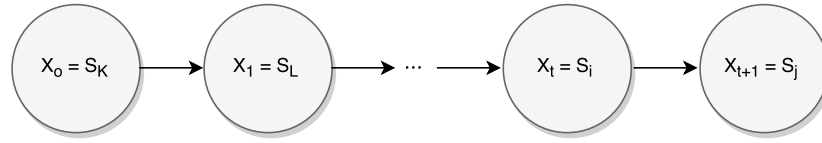


FIGURA 2.6: Proceso de Markov.

Una cadena de Markov es una secuencia de variables aleatorias generadas por un proceso de Markov, como se denota en la Ecuación 2.2.

$$(X_0, X_1, X_2, \dots, X_{n-1}, X_n) \quad (2.2)$$

La Ecuación 2.3 se define por sus probabilidades de transición. En la Figura 2.7 se muestra un ejemplo de la transición del estado i al estado j , dada la probabilidad P_{ij} .

$$P_{ij} = P_r(i \rightarrow j) = P_r(X_{t+1} = S_j | X_t = S_i) \quad (2.3)$$

En la Ecuación 2.4 se presenta una matriz de transición de finitos estados, donde la probabilidad de pasar de un estado a otro está determinado por una posición de la matriz, tomando en consideración que la suma de todas las transición de un estado debe ser igual a 1.

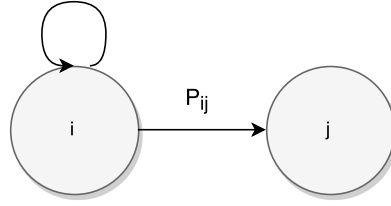


FIGURA 2.7: Cadena de Markov.

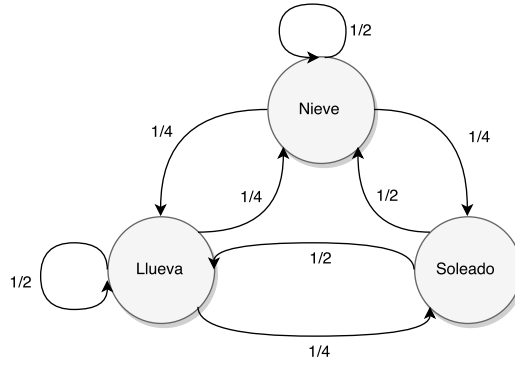


FIGURA 2.8: Ejemplo de cadena de Markov.

$$P = \begin{bmatrix} P_{1,1} & P_{1,2} & \cdots & P_{1,n} \\ P_{2,1} & P_{2,2} & \cdots & P_{2,n} \\ \vdots & \vdots & \ddots & \vdots \\ P_{n,1} & P_{n,2} & \cdots & P_{n,n} \end{bmatrix} \quad \sum_{j=1}^n P_{ij} = 1; \forall i \quad (2.4)$$

En la Figura 2.8 se muestra un ejemplo de una cadena de Markov simple, donde se analiza la probabilidad del clima de mañana dado el clima de hoy día. Como se puede observar, no se considera la historia del clima en la semana, sólo en el caso actual, lo cual es aplicado en los procesos estocásticos. Dada las probabilidades que transite de un clima a otro, se puede ver en la Ecuación 2.5 la matriz de transición resultante.

$$P = \begin{bmatrix} \frac{1}{2} & \frac{1}{4} & \frac{1}{4} \\ \frac{1}{2} & 0 & \frac{1}{2} \\ \frac{1}{4} & \frac{1}{4} & \frac{1}{2} \end{bmatrix} \quad (2.5)$$

Si se desea saber la probabilidad que la cadena esté en el estado S_i en el tiempo $t + 1$, está dada por la ecuación de Chapman-Kolmogórov (Papoulis, 1984):

$$\begin{aligned}
\Pi_i(t+1) &= P_r(X_{t+i} = S_i) \\
&= \sum_k P_r(X_{t+i} = S_i / X_t = S_k) P_r(X_t = S_k) \\
&= \sum_k P_r(X_{t+i} = S_i / X_t = S_k) \Pi_k(t)
\end{aligned} \tag{2.6}$$

En notación matricial:

$$\Pi_{(t+1)} = \Pi_{(t)} P$$

$$\begin{bmatrix} \Pi_1 & \Pi_2 & \Pi_3 \end{bmatrix}_{(t+1)} = \begin{bmatrix} \Pi_1 & \Pi_2 & \Pi_3 \end{bmatrix}_{(t)} \begin{bmatrix} P_{1,1} & P_{1,2} & \cdots & P_{1,n} \\ P_{2,1} & P_{2,2} & \cdots & P_{2,n} \\ \vdots & \vdots & \ddots & \vdots \\ P_{n,1} & P_{n,2} & \cdots & P_{n,n} \end{bmatrix} \tag{2.7}$$

Usando recurrencia, se puede calcular la distribución estacionaria como se muestra la ecuación 2.8, la cual indica el comportamiento a futuro de la cadena de Markov, dado los estados y transiciones que éste posee.

$$\begin{aligned}
\Pi(t) &= \Pi(t-1)P \\
&= \Pi(t-2)P^2 \\
&= \Pi(0)P^t; \Pi(0) : \text{distribución inicial}
\end{aligned} \tag{2.8}$$

2.5.2 Trabajo relacionado

Existen modelos predictivos que están basados en modelos matemáticos, los cuales simulan el comportamiento del sistema, ya sea del flujo o de la carga de un operador, de tal manera que pueda predecir como será su estado en un tiempo futuro. En general, para poder realizar una predicción se analiza las variables deseadas en una ventana de tiempo, para posteriormente aplicar un modelo matemático que prediga

la variación del sistema en la próxima ventana de tiempo que se tiene estipulada.

Dentro de las aplicaciones que se han realizado con modelos predictivos, se encuentra PRESS (Gong et al., 2010). En este sistema orientado a *Cloud Computing* (Birman, 2012), analiza la cantidad de recursos disponibles, ya sea la memoria disponible o el uso promedio de CPU, en las máquinas virtuales que se dispone en el *Infrastructure-as-a-Service*. Para realizar la predicción del estado del sistema, se aplica cadenas de Markov, tomando sus estados como ventanas de tiempo en un determinado período. De esta manera, se analiza el estado del sistema en un tiempo en específico, para analizar si posee correlación con algún estado de la cadena de Markov, para posteriormente ver la transición de ese estado a otro y generar la matriz de transición. Posteriormente, con la ecuación de Chapman-Kolmogorov, se calcula la distribución estacionaria de la matriz estacionaria, de tal manera de saber en que estado estará en la próxima ventana de tiempo, para finalmente analizar si es necesario algún cambio en el sistema.

Dentro de la misma línea de modelos predictivos, existe el sistema AGILE (Nguyen et al., 2013) para *Cloud Computing*, que modifica las máquinas virtuales de forma elástica en un *Infrastructure-as-a-Service*. Lo que se realiza en este trabajo es aplicar la transformada de Fourier (Falk et al., 2012) a la carga de CPU en una ventana de tiempo determinada, donde la función resultante se analiza con distintas frecuencias, de tal manera de solicitar la predicción de la próxima ventana de tiempo a cada una de las funciones creadas. De esta manera, se sintetizan todas predicciones realizadas por cada función, para analizar el comportamiento del sistema en la próxima ventana de tiempo, y ver si es necesario aumentar o disminuir recursos de éste.

2.6 TEORÍA DE COLAS

La teoría de colas se centra en el estudio matemático de las colas existentes en un sistema, cuyo caso de estudio era el desbordamiento de peticiones por parte del cliente al servidor (Breuer & Baum, 2005). En la Figura 2.9 se muestra un ejemplo

de un sistema basado en teoría de colas, donde existe n productores que envían cierto flujo de datos a los m servidores disponibles, y en caso de no estar disponibles, se genera una cola de espera en el sistema.

- **Productor** es quién provee la fuente de entrada para el servidor, de tal manera que procese según la necesidad que se posea.
- **Cola** o línea de espera, la cual está encargada de almacenar la información emanada por el productor en caso que los servidores estén ocupados, para que posteriormente sean procesados.
- **Servidor** es quién procesa la información disponible en la cola, de tal manera que entre una fuente de salida con los datos o información deseada.

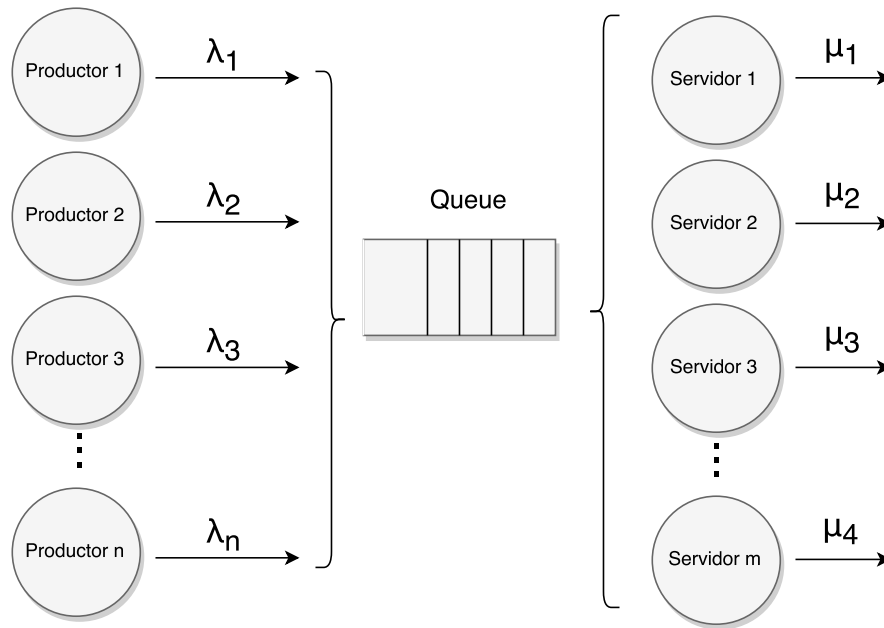


FIGURA 2.9: Ejemplo de un sistema basado en teoría de colas.

Además de esto, se tienen ciertos componentes importantes en el sistemas, definidos a continuación:

- **Tasa de llegada**, denotado λ , es la cantidad de datos, eventos o información que van llegando por un determinado período de tiempo, la cual está determinada por los productores que existan en el sistema.

- **Tasa de procesamiento**, denotado μ , es la cantidad de datos, eventos o información que salen del sistema, producto del servicio provisto por cada servidor.
- **Tasa de rendimiento**, denotado ρ , es el porcentaje de utilización del sistema, donde $\rho = \frac{\lambda}{\mu}$, siendo un sistema estable si $\rho < 1$, dado que la capacidad de procesamiento es mayor que la tasa de llegada.
- **Disciplina de la cola** significa el método utilizado para extraer los datos encolados en el sistema, para esto puede aplicarse los métodos *FIFO*, *LIFO*, *RSS*, entre otros.

Este tipo de modelos se puede aplicar en los SPS, debido que la fuente de datos es el productor y cada operador es un servidor del sistema. Por lo que existe un problema interesante a analizar, dado el dinamismo de los datos a procesar, pudiendo generarse sobrecargas en algún operador. Esto se produce debido a que la tasa de procesamiento es menor a la tasa de llegada, creando colas en el sistema. Por ejemplo, si se posee una tasa de llegada λ y una tasa de servicio μ , donde $\mu < \lambda$, se tendrá un sistema inestable, debido que se procesa más lento de lo que llegan los datos. Como existen colas, es necesario un aumento del rendimiento del sistema, debido que $\rho > 1$, donde se define $\rho = \frac{\lambda}{s\mu}$, siendo s la cantidad de servicios disponibles.

CAPÍTULO 3. BALANCE DE CARGA EN SPS

3.1 PERSPECTIVAS DE BALANCE DE CARGA

Dentro de la literatura se han encontrado distintas perspectivas al problema de balance de carga en un SPS (Sistema de Procesamiento de *Streaming*), las cuales consideran los recursos físicos o lógicos como problemas de la sobrecarga del sistema.

3.1.1 Recursos físicos

En esta perspectiva se toma en consideración la sobrecarga del sistema dado las limitantes físicas que éste posea, ya sea por condiciones de los recursos disponibles o por el ambiente de desarrollo. Para esto, se consideran distintos parámetros como umbrales, los cuales si son sobrepasados debe aplicarse alguna estrategia para aliviar la carga del sistema. Estos umbrales pueden ser el nivel *Service Level Objective* (SLO) (Sturm et al., 2000), porcentaje de CPU utilizada o disponibilidad de la memoria (Dong & Akl, 2006).

Una de las soluciones con la perspectiva anterior es la de Borealis (Xing et al., 2005), donde considera la cantidad de carga de los nodos en ventanas de tiempo determinadas, las cuales serán manejadas por un coordinador centralizado. Este coordinador se encarga de analizar los recursos del sistema, y en caso de sobrepase el umbral propuesto, se deberán migrar los operadores que estén en ese nodo, para luego ser enviados a otro nodo candidato con menor cantidad de carga. Para elegir al nodo candidato, se realiza un análisis de la cantidad de correlación que existe entre el operador y el nodo candidato, de esta manera, no necesariamente va a ser enviado a otro nodo con menor sobrecarga, sino también a uno que posea menor cantidad de mensajes. Dentro de los problemas que pueden existir en el sistema es la conexión entre los distintos nodos, por lo que para las pruebas se considera un buen ancho de banda, de tal manera que aparente una red sin limitaciones de recursos.

Otra de las soluciones que se han propuesto es lo realizado por Flood (Alves et al., 2010), la cual es un DPS (*Distributed data stream processing*) que considera ciertos factores físicos para agregar o eliminar máquinas virtuales que se provee del *Infrastructure-as-Service*, como Amazon EC2. Para esto, se posee un administrador que considera las estadísticas en tiempo de ejecución como la cantidad de CPU utilizada, latencia o memoria disponible, las cuales considera para ver en que rango está de los umbrales establecidos, y posteriormente agregar o eliminar recursos de manera elástica.

3.1.2 Recursos lógicos

A diferencia de la física, en esta perspectiva se consideran los componentes lógicos del sistema, como la carga de un operador. Las distintas soluciones que se presentan, analizan componentes como el flujo de datos o el tamaño de la cola de un operador, tomando esos parámetros como umbrales en los algoritmos implementados para realizar mejoras en el sistema.

Dado esta perspectiva, se han presentando dos tipos de enfoques: el estático y el dinámico (Gupta & Bepari, 1999). El primer enfoque está centrado en un modelo definido y fijo antes de la inicialización del sistema, sin considerar el estado del mismo. En cambio, el segundo enfoque está basado en un modelo que analizará el sistema según su estado en el transcurso de su ejecución.

3.1.3 Enfoque estático

Este enfoque se ha implementando en distintos sistemas de procesamiento de *stream*, donde no se depende del estado del sistema (Storm, 2014; S4, 2014). De esta manera, no existe una interrupción en la ejecución o un cambio debido al estado del sistema (Casavant & Kuhl, 1988). Por lo tanto, no se considera variables como la carga o cola del operador, sólo se aplican técnicas que administren el flujo de los datos en el sistema.

Storm utiliza distintas técnicas de distribución de las tuplas en los operadores según la política que se desee, todas tomando el enfoque estático (Storm, 2014). Dentro de las políticas que existen están *Shuffle grouping*, *Fields grouping*, *Partial Key grouping*, *All grouping*, *Global grouping*, *None grouping*, *Direct grouping* y *Local grouping*.

La política de *Shuffle grouping* se enfoca en distribuir las tuplas de forma homogéneas en los n operadores que se encuentren en el grafo, utilizando la planificación *Round-Robin* (Brucker, 2004), de esta manera la cantidad de tuplas se distribuye de forma homogénea en el sistema. Una de las principales fallas es que la tasa de procesamiento de las tuplas no siempre es la misma, por lo tanto puede existir una sobrecarga en un operador que le llegue mayor cantidad de tuplas con un mayor tiempo de procesamiento. Otra de las políticas muy utilizadas es *Fields grouping*, la cual determina ciertas llaves a un operador determinado, es decir, si la llave fueran palabras desde una letra hasta otra letra serán procesadas por cierto operador. Si bien genera un determinismo en el procesamiento de las llaves, puede existir una sobrecarga de un operador, debido que una llave se repite con mayor frecuencia que otras (Leibiusky et al., 2012).

Por otra parte, se encuentra el funcionamiento de S4, cuya política es similar a la de *Fields grouping* de Storm, la diferencia es que un operador no le corresponde un conjunto de llaves, sino que posee una llave única. Esto quiere decir que cada llave se le asigna un operador, y en caso de no existir un operador para el valor de esa llave, se creará un nuevo operador para esa llave. Debido a la infinidad de combinaciones en la llave, S4 recomienda aplicar una función *hash* (Rogaway & Shrimpton, 2004), de esta manera el valor de la función determina el operador que procesará el dato y disminuirá la cantidad de operadores que deben estar disponibles. Esta técnica provee dinamismo en la cantidad de operadores en el sistema, pero al igual que la *Fields grouping* puede sobrecargar un operador, debido que una llave posee mayor frecuencia que las otras.

Una ventaja del enfoque estático es el bajo costo de la implementación de los métodos, lo cual es beneficioso para sistemas con bajos recursos. Por otra parte, una desventaja existente es la sobrecarga de un nodo u operador, debido que

no asegura que la cantidad de flujo sea repartido de forma homogénea. Si bien, no es una solución óptima, es un buen complemento para un modelo con el enfoque dinámico.

3.1.4 Enfoque dinámico

Este enfoque está basado en el estado del sistema, siendo esto el parámetro para optimizar su rendimiento (Casavant & Kuhl, 1988). Esto significa que si el sistema posee una anomalía, como una sobrecarga o latencia entre nodos, es necesario realizar un cambio en el sistema con el fin de solucionar estos problemas. En este contexto se consideran dos modelos: reactivo y predictivo.

Reactivo Este modelo está basado en la detección de sobrecargas en el sistema a través de un monitor (Gulisano et al., 2012), el cual recibe periódicamente las variables de cada uno los operadores, y en caso que sobrepase un umbral, se aplica una técnica para aumentar el rendimiento bajo una métrica dada. El umbral puede estar basado en el tiempo de procesamiento, el tamaño de la cola u otra variable del operador (Bhuvanagiri et al., 2006). Por ejemplo, para realizar una optimización en el rendimiento general del sistema, se considera la tasa de procesamiento de cada operador, por lo que en caso de existir congestión en un operador, se procede a realizar una paralelización del operador, de tal manera que exista un operador adicional que pueda recibir un flujo de datos y realizar la misma operación que el operador sobrecargado (Schneider et al., 2009).

Si bien estas soluciones en su mayoría son eficientes y poseen buen rendimiento, uno de los principales problemas es que no analiza el comportamiento a futuro, debido que sólo analiza y resuelve la situación en el momento. Otro problema son los falsos positivos, debido que puede ser que en un momento exista un *pick* de tráfico, pero esto era sólo un caso particular de un tiempo determinado, por lo que no era necesaria la mejora en el sistema.

Predictivo Este modelo está basado en modelos matemáticos que calculan o estiman el comportamiento a futuro del sistema, dada cierta información que se posee del sistema, como flujo entrante o carga de la CPU. Si bien no existen modelos predictivos para SPS, si los existen en otras áreas, como se explicó anteriormente en la subsección 2.5.2.

3.2 TÉCNICAS DE BALANCE DE CARGA

Existen distintas técnicas de balance de carga que utilizan alguno de los dos modelos presentados anteriormente, las cuales están enfocados a mejorar el rendimiento del sistema en caso de existir una sobrecarga (Hirzel et al., 2013). Dentro de las técnicas existentes se encuentran la planificación determinista (Xu et al., 2014; Dong et al., 2007), *load shedding* (Sheu & Chi, 2009), migración (Xing et al., 2005) y fisión (Gulisano et al., 2012; Ishii & Suzumura, 2011; Gedik et al., 2014; Fernandez et al., 2013), si bien existen más, sólo se trataron estas porque se consideran las relevantes.

3.2.1 Planificación determinista

La planificación determinista se centra en los conocimientos *a priori* del sistema, esto significa que se consideran las variables del entorno que se poseen y respecto a esto se toma una decisión de como debe actuar el sistema.

En el área de *Stream processing*, se han realizado diferentes análisis de la estimación de frecuencia de *data stream* en el sistema. Para poder realizar esto, se han considerado modelos matemáticos, tomando ventanas de tiempo de la frecuencia predicha y la real, para posteriormente generar con los datos una función que represente la frecuencia estimada del operador (Ganguly, 2009). Pero no sólo se han considerado modelos matemáticos, sino también algoritmos que determinan la frecuencia del sistema dado el flujo de datos que se podría poseer (Bhuvanagiri et al.,

2006).

En otras áreas, como red de sensores, se utiliza esta técnica en el envío de estadísticas de dispositivos móviles, los cuales manejan información *a priori* de donde están los sensores, de tal manera de determinar según la intensidad de la frecuencia, localización o clima, a dónde debe enviar la señal para que se recolecte la información correspondiente (Dong et al., 2007).

Una de las limitaciones es que si bien realiza una predicción determinista de la frecuencia, no necesariamente es correcta a futuro. Esto se debe a qué puede analizarse respecto al promedio, pero pueden surgir procesos anómalos en el transcurso de la ejecución que generarán una sobrecarga en el sistema. Por lo tanto, la estimación al realizarse *a priori*, sólo podrá considerar el inicio del sistema o ventanas de tiempo, por lo que puede existir un porcentaje de error considerable. Por otra parte, se considera que posee mejor rendimiento esta técnica si es que la frecuencia o función analizada es estacionaria (Karp et al., 2003).

3.2.2 Load Shedding

En los SPS también se utiliza la técnica de *load shedding*, que consiste en descartar eventos del sistema en caso de existir un comportamiento anómalo, ya sea un máximo en el tamaño de la cola u otro factor. En la Figura 3.1 se puede ver que existe un operador A, el cual le llega cierta cantidad de datos en un período de tiempo, debido a la cola que existe por parte del sistema, se considera utilizar un operador denominado *Shedding*, que en caso de existir un flujo de datos mayor al umbral propuesto, va a descartar los eventos que excedan el umbral. Por ejemplo, en la transmisión de *video streaming*, al enviar el flujo de información existe un administrador que está analizando el contenido a procesar, por lo que en caso de llegar datos de baja calidad, serán descartados por éste. De esta manera, al existir menor cantidad de datos que procesar, el sistema posee un mejor rendimiento, además de tener una mejor calidad en la visualización de los videos, dado que en su mayoría se procesan datos de alta calidad (Sheu & Chi, 2009).

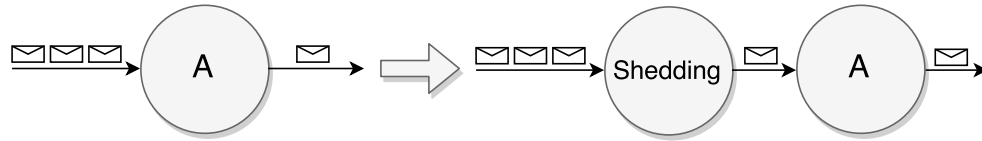


FIGURA 3.1: Load shedding en un SPS.

En el mundo de los SPS, varios poseen este tipo de estrategia, como por ejemplo S4 (S4, 2014), doonde se establece una cota superior de eventos en cola, y en caso que su cola sea igual al límite establecido, los eventos entrantes serán descartados. Otro sistema que aplica esta técnica es Aurora (Abadi et al., 2003), el cual se basa en procesamiento de datos por ventanas de tiempo, por lo que en caso de existir una ventana de tiempo con una mayor cantidad de eventos de lo estipulado, se descarta el exceso de eventos.

Si bien esta técnica es simple y de bajo costo, siendo pensada para la disminución rápida de carga, existe una baja en la precisión y fiabilidad del procesamiento de los datos. Por ejemplo, en el caso de la transferencia de video no es trascendental, dado que son pocos los pixeles perdidos, pero en una recopilación y análisis de estadísticas, esto dará una menor precisión de los datos procesados por el sistema, dado que puede perderse información que indique comportamientos de los datos estudiados.

3.2.3 Migración

La técnica de migración está basada en el traspaso de un operador de un nodo a otro, según el estado del sistema. En la Figura 3.2 se puede apreciar dos nodos, los cuales poseen tres y dos operadores respectivamente, pero debido a una sobrecarga del nodo 1 es que se realiza una migración de un operador al nodo 2, ya que este se encuentra con menor carga, de esta manera, se reparten homogéneamente la carga dada la carga que exigen los operadores que posee cada uno de los nodos. Si bien no existe alguna implementación que utilice los recursos lógicos, si existe una que utiliza los recursos físicos como es el caso de Borealis, el cual fue explicado anteriormente (Xing et al., 2005). Una de las principales críticas que se realiza a

esta técnica, es la transferencia de datos, por lo que existe una menor tolerancia a fallos, por lo que se propone el uso de *buffer* que tengan respaldos de la información, aumentando los costos del sistema (Pittau et al., 2007).

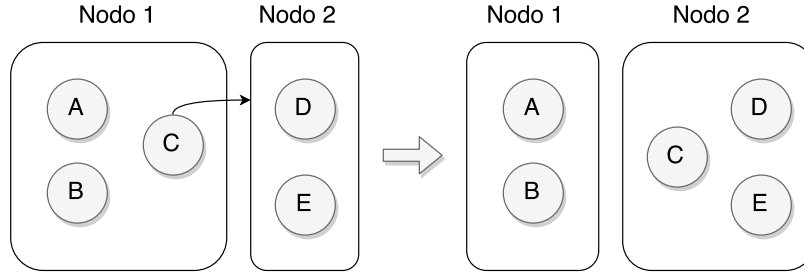


FIGURA 3.2: Técnica de migración en un SPS.

3.2.4 Fisión

Otra técnica utilizada en el balance de carga es la fisión, o también llamada replicación, particionamiento o paralelismo, la cual consiste en crear una réplica paralela del operador, sin perder el funcionamiento y estado, en caso de existir una sobrecarga en el operador. En Figura 3.3 se puede ver que existe un operador A, el cual en primera instancia tiene un flujo de entrada q_1 y flujo de salida q_2 , pero debido a la sobrecarga del operador A, se crea dos operadores extras, los cuales pasarán por un *Split* y posteriormente por un *Merge*, que tendrán como función distribuir y juntar la información respectivamente. En ciertos SPS se posee el planteamiento que el *split* y el *merge* son operadores que deben ser realizados por el programador, y no de forma automática por el sistema, como S4 o Storm. Una de las características que se posee de esta técnica es la elasticidad del sistema, donde aumenta o disminuye la cantidad de operadores según la necesidad del sistema.

Una aplicación que aplica la técnica de fusión según el enfoque estático, es la paralelización de tareas de Storm (Leibiusky et al., 2012), donde se indica la cantidad de operadores necesarios para realizar una tarea paralelamente. De esta manera, existe un proceso que está encargado de la tarea deseada, y n hebras por la cantidad de operadores que se deseen.

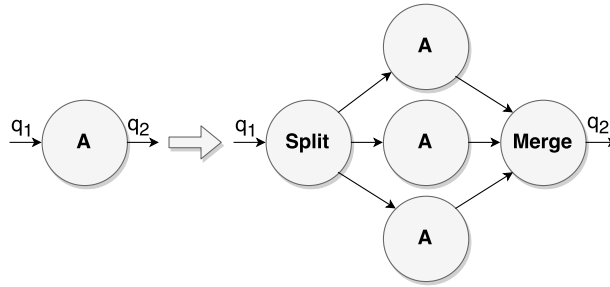


FIGURA 3.3: Técnica de fisión en un SPS.

Otro sistema que utilizan esta técnica, mediante el enfoque dinámico, es *StreamCloud* (Gulisano et al., 2012), donde según la cantidad de consultas realizadas al sistema, se aumenta o disminuye la cantidad de operadores que cumplen las tareas que se solicitan. Como se había mencionado anteriormente, existe un problema con la variable de distribución y unión de la información al replicar los operadores, este sistema propone que pueda resolver ciertas consultas el sistema y que de forma automática pueda realizar el proceso de *split* y *merge*, de tal manera de no tener problemas con los operadores con estado, como lo son los contadores y algoritmos de ordenamiento. Una de las características principales de este sistema, es aplicar el concepto de elasticidad, que aumenta y disminuye la cantidad de operadores según lo requerido por el sistema. Otros trabajos como (Gedik et al., 2014; Schneider et al., 2009) también aplican este método, y paralelizan las tareas de forma elástica, y con parámetros similares, sólo que su implementación es distinta.

El último trabajo a analizar según esta técnica es lo realizado por Fernández (Fernandez et al., 2013), donde aplican fisión en el caso que exista un cuello de botella en un operador. Para la detección de estas situaciones, se posee un monitor, el cual está consultando en un período de tiempo corto el estado de cada uno de los operadores. De esta manera, se puede ver en cada operador si sobrepasó el umbral propuesto, que era en este caso la utilización de la CPU, se procede a replicar el operador sobrecargado. En la Figura 3.4 se puede ver el caso de un simple sistema, en el cual el operador u está enviando un flujo de datos al operador o , hasta que en cierto momento el operador o posee un cuello de botella y debe replicar, hasta que en la parte (c) denota que convergió el operador o , es decir llegó a la cantidad de réplicas necesarios, y ya no es necesario replicar más, pero con el transcurso del

tiempo si fue necesario en el operador u , por lo que se aplica la misma lógica descrita anteriormente con el operador o .

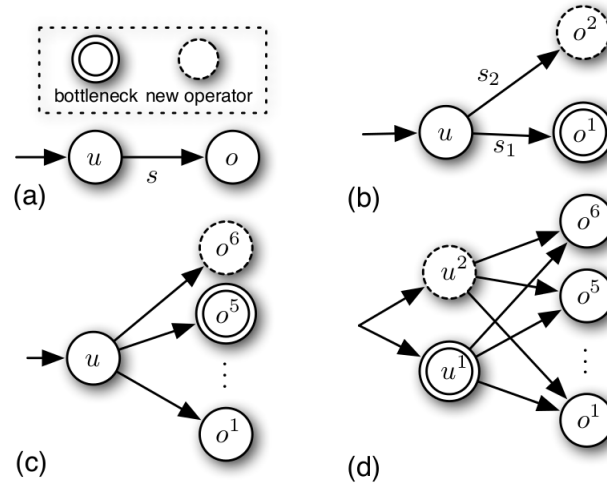


FIGURA 3.4: Ejemplo de replicación de los operadores (Fernandez et al., 2013).

CAPÍTULO 4. DISEÑO DEL SISTEMA DE DISTRIBUCIÓN DE CARGA

Como se había mencionado en la subsección 1.2, el problema de la sobrecarga en un SPS está arraigado por la inflexibilidad que posee el grafo diseñado. Esto quiere decir, que en el momento que el sistema está funcionando, cambia la cantidad de recursos necesarios en el sistema, por lo que puede volver ineficiente o sobrecargado el sistema.

De ser así, el sistema necesita un sistema que pueda proveer dinamismo en su estructura, así como también análisis de la carga tanto en el momento como a futuro, de tal manera que se complementen. De tal manera de diseñar un sistema de bajo costo que pueda optimizar su rendimiento, sin generar interrupciones en la ejecución del sistema.

4.1 ANÁLISIS DEL SISTEMA DE DISTRIBUCIÓN DE CARGA

Dentro del análisis realizado en la arquitectura del sistema implementando, se consideró una perspectiva en base a los recursos lógicos según el enfoque dinámico, definido en las subsección 3.1.2 y 3.1.4 respectivamente, para el balance de carga de SPS. Esto debido que el trabajo presentando no analizó el comportamiento que tenga cada uno de los nodos del sistema, sino que se analizó el rendimiento que poseía cada uno de los operadores del grafo diseñado en base a un SPS.

Respecto al estudio de las distintas técnicas implementadas, era necesario utilizar una que no tuvieran desventajas en cuanto a la pérdida de datos, inadaptabilidad con el tiempo y costo de implementación. Por lo tanto, se consideró que la mejor opción era utilizar la técnica de fisión, utilizando el mismo modelo de replicación que Fernández (Fernandez et al., 2013), donde según una sobrecarga en el operador era necesario generar una replica de ese operador. Dentro de las hipótesis planteadas, se pensaba que el costo de un operador iba a ser menor a la formación de las colas de datos en el sistema, lo cual podría variar según la

arquitectura del SPS implementando.

Para el diseño del sistema, era necesario contar con un umbral que determinara cuando el operador está o no sobrecargado, por lo que para esto se utilizaron conceptos de teoría de colas (Bose, 2013). Como los SPS están orientados en grafos, se posee tanto la tasa de llegada (λ) como la tasa de procesamiento (μ) para cada uno de los operadores, como se ve representando en la Figura 4.1, donde la tasa de procesamiento de un operador es la misma tasa de llegada del siguiente operador en el grafo. Utilizando este tipo de conceptos, para cada operador se calculó la tasa de procesamiento (ρ), la cual esta definida por la tasa de llegada, la tasa de procesamiento y la cantidad de servicios disponibles en el sistema ($\rho = \frac{\lambda}{\mu\rho}$), cuyo valor nos indica el rendimiento del operador en cierta período de tiempo.

Dado este tipo de enfoque y la elasticidad que se deseaba por parte del sistema, es que se trataron tres tipos de estados que pudieran surgir en el sistema: ocioso, estable e inestable. El primer estado hace referencia a cuando el sistema posee mayor cantidad de recursos de lo necesario. El segundo es cuando el sistema se encuentran en un rendimiento óptimo. Y por último, el tercero hace referencia a cuando el sistema posee una sobrecarga, por lo que necesita una mayor cantidad de recursos. Definido el estado del sistema, se tomó esto como la base para las funciones que iban a desempeñar los componentes de análisis y predicción de carga.

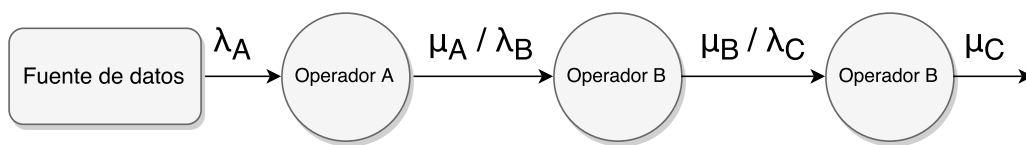


FIGURA 4.1: Enfoque de un SPS con conceptos de teoría de colas.

Por último, se consideró importante tratar con dos tipos de algoritmos, uno enfocado en el presente y otro en el futuro. Esto fue pensando, debido que el análisis en el presente no iba a encontrar algún patrón o *peak* que indicara que iba a poseer el mismo comportamiento a futuro, a diferencia de algún algoritmo predictivo. Esto se puede ver ejemplificado en curvas exponenciales, dado que si la tasa de llegada de los datos va aumentando exponencialmente, es necesario ir aumentando paralelamente los recursos del sistema para no generar una sobrecarga.

Pero, en caso que falle la predicción, existe el algoritmo reactivo que podrá mejorar el rendimiento en el momento.

Al considerarse un sistema que pudiera lidiar con dos tipos de algoritmos, era necesario considerar un algoritmo que pudiera administrar la cantidad de cargas, con tal analizar el algoritmo a utilizar según el tiempo, como también la cantidad de réplicas que deben aplicarse.

Dado lo anterior, se diseñó un sistema de distribución de carga con cuatro componentes: monitor de carga, analizador de carga, predictor de carga y administrador de réplicas, que se pueden apreciar en la Figura 4.2.

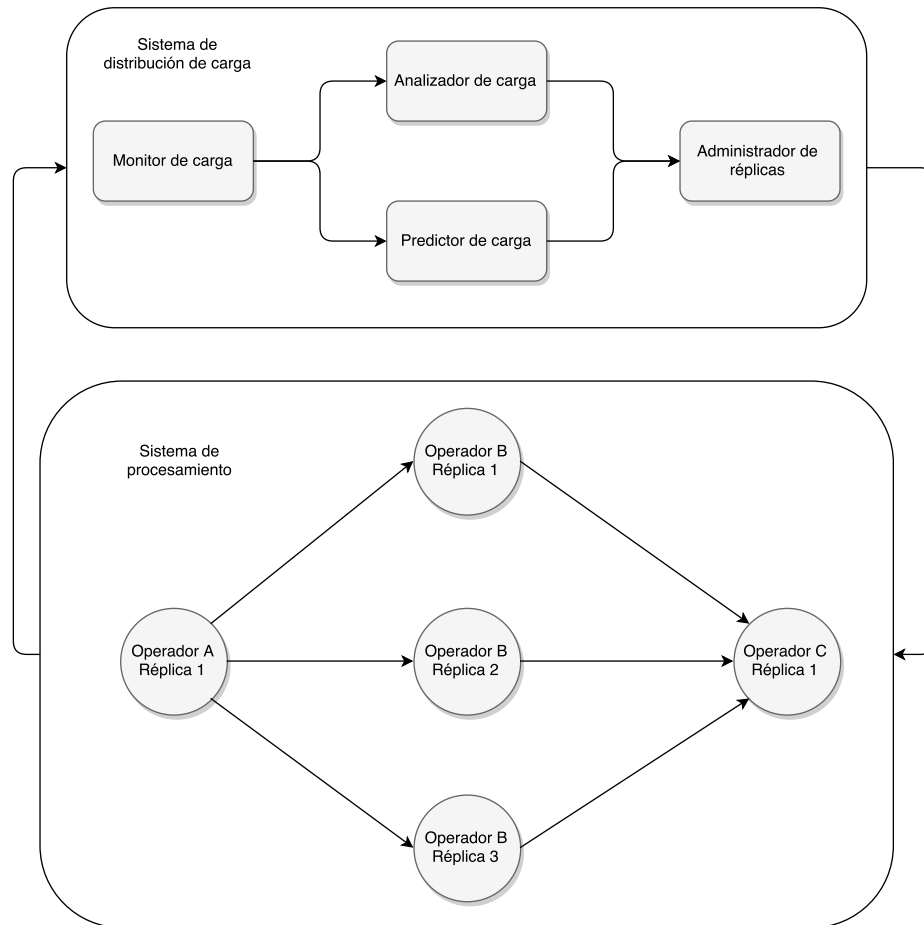


FIGURA 4.2: Estructura del sistema de distribución de carga.

Monitor de carga Está encargado de estar enviando las estadísticas al sistema, ya sea para recolectar las estadísticas para el algoritmo reactivo como predictivo.

Analizador de carga Verifica cual es la carga cada cierto período de tiempo, y respecto a eso indica si debe o no replicarse. Para esto, se considera el rendimiento de cada operador, de esta manera se compara el valor del rendimiento con el umbral propuesto, y según en que rango esté va a ser el estado que se encuentren, el cual indica si debe disminuir, aumentar o mantenerse la cantidad de réplicas.

Predictor de carga Realiza una predicción en base a la historia realizada en cierta ventana de tiempo, utilizando como base las cadenas de Markov. De esta manera, se realiza un cálculo de la distribución estacionaria (Papoulis, 1984), para determinar el estado del sistema a futuro y tomar una decisión respecto a esto.

Administrador de réplicas Es quién administra la cantidad de réplicas de un operador en específico, y además cual de los modelos será utilizado.

4.2 RECOLECCIÓN DE LOS DATOS

Como se había mencionado anteriormente, el monitor de carga está encargado de recolectar la tasa de rendimiento de cada uno de los operadores, tanto del historial como los datos en el momento. Para esto, se consideró una ventana de tiempo de 1 segundo para la recolección del historial, y 5 segundos para el análisis del operador en el momento.

Para la recolección del historial se consideraron muestras de 100 datos, esto fue propuesto de esta manera, debido que cada 100 segundos se realiza el algoritmo predictivo, tomando en consideración que cada un segundo recolecta una muestra. La cantidad de muestras fue determinado de esta manera, porque se consideró un número apropiado según lo indicado en la literatura (Ching & Ng, 2006).

En cambio, para el algoritmo reactivo, se consideran datos del momento, los cuales son obtenidos cada cinco segundos. Con esta tasa de rendimiento, el algoritmo debe analizar si es necesario o no realizar alguna modificación al sistema, es importante destacar que no siempre es necesaria, debido que en cierto período

sólo se utiliza el algoritmo predictor y no el reactivo. Dentro de las consideraciones que se hicieron, es realizar un promedio de la tasa de servicio (μ) en cierta ventana de tiempo, de tal manera de poseer un dinamismo en el valor del procesamiento de los datos en el operador. Un ejemplo de esto, es que puede ser que en cierto período de tiempo se procesen datos más pesados que en otro período de tiempo, llegando la misma tasa de llegada, por lo que las tasas de procesamiento son distintas. Al realizar promedios en períodos de tiempos, las tasa de procesamiento irá adaptándose con el dinamismo de los datos.

4.3 ALGORITMO REACTIVO

Para el diseño del algoritmo reactivo, como se expresó al inicio del capítulo, se tomó en cuenta conceptos de teoría de colas, por lo que la tasa de rendimiento es el factor que se utilizó para el análisis del estado del sistema.

Dentro de las definiciones de los algoritmos reactivos (Casavant & Kuhl, 1988), es necesario considerar umbrales para determinar el estado del sistema, el cual en este caso la tasa de rendimiento (ρ), por lo que según su valor el operador toma cierto estado. En el Algoritmo 4.1 se puede ver el análisis del estado de un operador según su tasa de rendimiento; en el caso que sea mayor a 1, su estado es inestable, menor a 0.5, significa que está en estado ocioso, y sino, significa que está estable. Estos datos posteriormente serán considerados por el administrador de réplicas, el cual analiza el comportamiento que debe tener el sistema según lo indicado por el algoritmo.

Algoritmo 4.1: Algoritmo reactivo del sistema de distribución de carga.

Entrada: Tasa de procesamiento ρ del operador ϕ .

Salida: Estado del operador, donde -1 significa estado ocioso, 0 estable y 1 inestable.

```
1: if  $\rho_\phi > 1$  then  
2:   return 1  
3: else if  $\rho_\phi < 0.5$  then  
4:   return -1  
5: else  
6:   return 0  
7: end if
```

En la Figura 4.3 se muestra un ejemplo de la tasa de procesamiento, que en los primeros segundos el sistema está superior al límite superior, el cual indica que el sistema es inestable. Por lo que el sistema detecta dicha sobrecarga, e indica este problema, para que posteriormente en los 100 segundos pueda estabilizarse el sistema y quedarse entre el límite superior e inferior, el cual está definido como sistema estable.

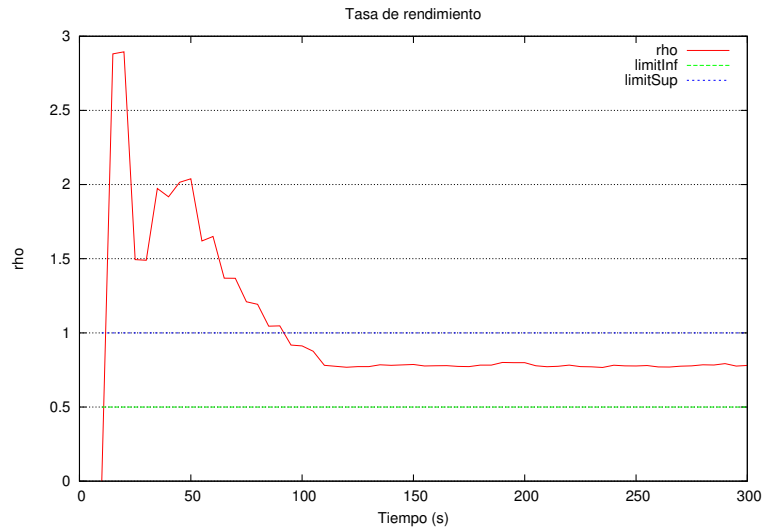


FIGURA 4.3: Estados de la tasa de procesamiento.

4.4 ALGORITMO PREDICTIVO

Para la confección del algoritmo predictivo se realizó un análisis según las cadenas de Markov (Ching & Ng, 2006), por lo que es importante considerar las siguientes condiciones necesarias:

- Definir tiempo discretos, los cuales fueran cambiando con el tiempo según un proceso estocástico. Para esto se consideró el cambio del estado del sistema de período a otro, es decir, las transiciones existentes entre cada uno de los estados, ya sea ocioso, estable o inestable, en período de un segundo.
- Determinar los estados finitos que se van a utilizar para la conformación de la cadena, que en este caso sería los estados que puede encontrar el sistema, siendo

tres los posibles estados: ocioso, estable o inestable.

- Una cantidad de muestras considerables para realizar un muestreo que sea representativo según el período analizado, que en este caso fueron 100 muestras, las cuales corresponden a la tasa de rendimiento del operador analizado. Estas muestras serán independientes unas con otras, por lo que cada cierto período de tiempo se volverá a crear otra cadena de Markov independiente de los datos del pasado.

Dato esto, se presentó un cadena de Markov en base a estas bases, como se refleja en la Figura 4.4, donde existen tres estados, los cuales pueden ser ocioso, estable o inestable, y poseen ciertas transiciones de un estado a otro, cuyas probabilidades van a estar determinadas por la historia existente en el sistema.

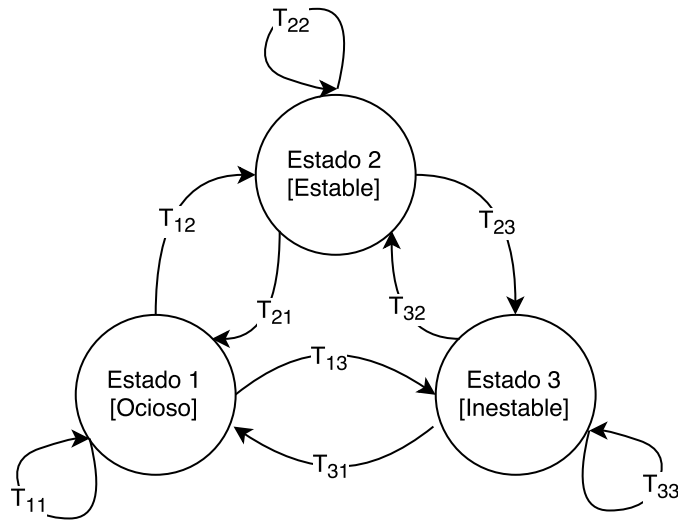


FIGURA 4.4: Cadena de Markov dado el modelo propuesto del sistema.

Por lo tanto, para cada operador existe una cadena de Markov según la historia existente en una ventana de tiempo. Para la generación de esta cadena de Markov, se puede ver en el Apéndice A el algoritmo que crea la matriz de transición según el historial del operador, la cual corresponde a la tasa de rendimiento recolectada cada un segundo en la última ventana de tiempo del operador analizado. En la Ecuación 4.1 se puede ver la matriz de transición que se obtiene de la cadena de Markov de la Figura 4.4, la cual posee una probabilidad de transición desde cada uno de los estado a otro existente.

$$P = \begin{bmatrix} T_{1,1} & T_{1,2} & T_{1,3} \\ T_{2,1} & T_{2,2} & T_{2,3} \\ T_{3,1} & T_{3,2} & T_{3,3} \end{bmatrix} \quad (4.1)$$

Teniendo la matriz de transición de la cadena de Markov de un operador, se puede calcular la distribución estacionaria, la cual indica la probabilidad que a largo plazo se encuentre el sistema en cierto estado, ya sea ocioso, estable o inestable. Para el cálculo de esta, se utiliza la ecuación de Chapman-Kolmogórov (Papoulis, 1984) expuesta en la subsección 2.5.1.

El Algoritmo 4.2 describe el cálculo de la distribución estacionaria, cuya entrada es la distribución estacionaria de un operador del SPS. Dentro de las primeras condiciones, era analizar si efectivamente existían transiciones en todos los estados, debido que podía darse que no existiera alguna transición a algún estado en un período de tiempo. Por ejemplo, podría ser que en cierto período nunca se ha encontrado ocioso el sistema, pero si estable e inestable. Como el cálculo de la distribución estacionaria requiere un estado de inicio, se verificó si efectivamente existía o no el estado, y en caso no existir, el estado de inicio será alguno existente.

Al realizar las iteraciones correspondientes a cálculo, se proporcionó como entrada la cantidad que se estimaba necesario. Es importante destacar que entre mayor cantidad de iteraciones, mayor precisión existe en el cálculo, pero mayor es el tiempo de espera.

Obtenida la distribución estacionaria, se procesa a analizarla el comportamiento de esta. Para esto, se consideró que era importante que la probabilidad entre estados tuviera una desviación estándar superior a 0.25, de tal manera que se trabajen con probabilidad que no posean incertidumbre en su comportamiento a futuro. En el Algoritmo 4.3 se puede ver el análisis que se realiza a la distribución estacionaria, ya sea por el comportamiento estadístico o de estado del sistema, donde retornará el estado a futuro del operador, dada la probabilidad más alta de la distribución estacionaria, si es que supera la desviación estándar propuesta. Se tomó en consideración que el primer estado es el ocioso, el segundo estado es el estable y el tercer estado es el inestable.

Algoritmo 4.2: Cálculo de la distribución estacionaria de la cadena de Markov de un operador ϕ .

Entrada: Γ Matriz de transición del operador ϕ y v cantidad de iteraciones deseadas.

Salida: Δ Distribución estacionaria de la cadena de Markov del operador ϕ .

```

1:  $i \leftarrow 0$  //Estado inicial de iteración
2: for  $j = 1$  a  $3$  do
3:   if  $\Gamma_{j,x} = 0; x = 1, 2, 3$  then
4:      $i \leftarrow j$ 
5:   end if
6: end for
7:  $\tau \leftarrow Arreglo[3]$  //Contador para la normalización de los datos
8: for  $k = 0$  a  $v$  do
9:    $u = randomUniform(0, 1)$ 
10:   $\sigma = 0$ 
11:  for  $j = 0$  a  $3$  do
12:     $\sigma = \sigma + \Gamma_{i,j}$ 
13:    if  $u \leq \sigma$  then
14:       $\tau_j ++$ 
15:       $i \leftarrow j$ 
16:    break
17:    end if
18:  end for
19: end for
20:  $\Delta \leftarrow Arreglo[3]$  //Distribución estacionaria de la cadena de Markov del operador  $\phi$ 
21: for  $k = 0$  a  $3$  do
22:    $\Delta_k \leftarrow \tau_k / v$ 
23: end for
24: return  $\Delta$ 

```

Algoritmo 4.3: Algoritmo predictivo del sistema de distribución de carga.

Entrada: Δ Distribución estacionaria de la cadena de Markov del operador ϕ .

Salida: Estado a futuro del operador, donde -1 significa estado ocioso, 0 estable y 1 inestable.

```

1: if  $\sigma(\Delta_1, \Delta_2, \Delta_3) > 0.25$  //Desviación estándar de las probabilidades de la distribución
   estacionaria then
2:    $i \leftarrow getStateMax(\Delta)$  //Obtención del estado con mayor probabilidad
3:   if  $i = 1$  then
4:     return -1
5:   else if  $i = 2$  then
6:     return 0
7:   else
8:     return 1
9:   end if
10: end if
11: return 0

```

4.5 ADMINISTRACIÓN DEL SISTEMA

El último componente del sistema es el administrador de réplicas, cuya función es administrar la cantidad de réplicas en cada uno de los operadores según

los recursos disponibles por parte del sistema y también según el comportamiento que éste posea.

Para esto, se diseñó un administrador que se ejecutara según el período que se encuentra el algoritmo reactivo o predictivo, cada período es de 19 ejecuciones del algoritmo reactivo y 1 del algoritmo reactivo. Esto fue pensando dado que cada 100 segundos se poseían las muestras suficientes para el análisis del algoritmo predictivo, por lo tanto, cada ejecución del algoritmo reactivo iba a ser cada 5 segundos, de esa manera al segundo 100 iba a realizarse en vez del algoritmo reactivo, el predictivo ya que posee la cantidad suficiente de muestras.

Algoritmo 4.4: Administración de réplicas de un operador ϕ dado su comportamiento en el sistema de distribución de carga.

Entrada: Operador ϕ a analizar y ι período en que se encuentra el sistema de distribución de carga.

Salida: Cantidad de réplicas a modificar del operador.

```

1: if  $\iota \bmod 20 \neq 0$  then
2:    $\delta_\iota \leftarrow \text{AlgoritmoReactivo}(\phi)$ 
3:   if  $\delta_\iota$  and  $\delta_{\iota-1}$  son estado inestable then
4:     if No excede la cantidad máxima de réplicas en el sistema then
5:       return Crear una réplica del operador  $\phi$ 
6:     end if
7:   else if  $\delta_\iota$  and  $\delta_{\iota-1}$  son estado ocioso then
8:     return Remover una réplica del operador  $\phi$ 
9:   end if
10: else
11:    $\delta_\iota \leftarrow \text{AlgoritmoPredictivo}(\phi)$ 
12:   if  $\delta_\iota$  es estado inestable then
13:     if No excede la cantidad máxima de réplicas en el sistema then
14:       return Crear cinco réplicas del operador  $\phi$ 
15:     end if
16:   else if  $\delta_\iota$  es estado ocioso then
17:     return Remover cinco réplicas del operador  $\phi$ 
18:   end if
19: end if
20: return No hacer nada al operador  $\phi$ 

```

En el Algoritmo 4.4 está el procedimiento de administración, donde primero se analiza si debe realizarse según el período el algoritmo reactivo o el predictivo. En caso de realizarse el reactivo, se analiza si existen dos alertas consecutivas del mismo estado del sistema, ya sea ocioso o inestable, y de ser así, realizar una modificación a la cantidad de réplicas del operador. Por otra parte, de ejecutarse el módulo predictivo, se analiza cual fue la predicción, por lo que si es

ocioso disminuirá la cantidad de réplicas y si es inestable las aumentará. Como el proceso de predicción se realiza con menor frecuencia, se considero que debía crear o remover mayor cantidad de réplicas que en el módulo reactivo, con tal de aprovechar el costo de cómputo que conlleva éste.

Dentro de las consideraciones que se tuvieron para el diseño del administrador, fue la cantidad máxima de réplicas que podían realizarse. Dado que una de las limitantes de este trabajo fue que sólo se utilizó una máquina, la cantidad de recursos son limitados, por lo que aumentar la cantidad de réplicas indefinidamente iba a generar una sobrecarga en los recursos disponibles por parte de la máquina, habiendo fallas en el funcionamiento del SPS.

REFERENCIAS

- Abadi, D. J., Carney, D., Çetintemel, U., Cherniack, M., Convey, C., Lee, S., Stonebraker, M., Tatbul, N., & Zdonik, S. B. (2003). Aurora: a new model and architecture for data stream management. *VLDB J.*, 12(2), 120–139.
- Alves, D., Bizarro, P., & Marques, P. (2010). Flood: Elastic streaming mapreduce. In *Proceedings of the Fourth ACM International Conference on Distributed Event-Based Systems*, (pp. 113–114).
- Andrade, H., Gedik, B., & Turaga, D. (2014). *Fundamentals of Stream Processing: Application Design, Systems, and Analytics*. Cambridge University Press.
- Appel, S., Frischbier, S., Freudenreich, T., & Buchmann, A. P. (2012). Eventlets: Components for the integration of event streams with SOA. In *2012 Fifth IEEE International Conference on Service-Oriented Computing and Applications (SOCA), Taipei, Taiwan, Diciembre 17-19, 2012*, (pp. 1–9).
- Bhuvanagiri, L., Ganguly, S., Kesh, D., & Saha, C. (2006). Simpler algorithm for estimating frequency moments of data streams. In *Proceedings of the Seventeenth Annual ACM-SIAM Symposium on Discrete Algorithms, SODA 2006, Miami, Florida, USA, January 22-26, 2006*, (pp. 708–713).
- Birman, K. P. (2012). *Guide to Reliable Distributed Systems - Building High-Assurance Applications and Cloud-Hosted Services*. Texts in Computer Science. Springer.
- Bose, S. K. (2013). *An introduction to queueing systems*. Springer Science & Business Media.
- Breuer, L., & Baum, D. (2005). *An introduction to queueing theory and matrix-analytic methods*. Springer.
- Brucker, P. (2004). *Scheduling algorithms*. Springer.
- Casavant, T. L., & Kuhl, J. G. (1988). A taxonomy of scheduling in general-purpose distributed computing systems. *IEEE Trans. Software Eng.*, 14(2), 141–154.

- Chen, C. L. P., & Zhang, C. (2014). Data-intensive applications, challenges, techniques and technologies: A survey on Big Data. *Inf. Sci.*, 275, 314–347.
- Ching, W. K., & Ng, M. K. (2006). *Markov chains*. Springer.
- De Sapio, R. (1978). Calculus for the life sciences.
- Dong, F., & Akl, S. G. (2006). Scheduling algorithms for grid computing: State of the art and open problems.
- Dong, M., Tong, L., & Sadler, B. M. (2007). Information retrieval and processing in sensor networks: Deterministic scheduling versus random access. *IEEE Transactions on Signal Processing*, 55(12), 5806–5820.
- Falk, M., Marohn, F., Michel, R., Hofmann, D., Macke, M., Tewes, B., & Dinges, P. (2012). A first course on time series analysis: examples with sas.
- Fernandez, R. C., Migliavacca, M., Kalyvianaki, E., & Pietzuch, P. (2013). Integrating scale out and fault tolerance in stream processing using operator state management. In *Proceedings of the ACM SIGMOD International Conference on Management of Data, SIGMOD 2013, New York, NY, USA, June 22-27, 2013*, (pp. 725–736).
- Ganguly, S. (2009). Deterministically estimating data stream frequencies. In *Combinatorial Optimization and Applications, Third International Conference, COCOA 2009, Huangshan, China, June 10-12, 2009. Proceedings*, (pp. 301–312).
- Gedik, B., Schneider, S., Hirzel, M., & Wu, K. (2014). Elastic scaling for data stream processing. *IEEE Trans. Parallel Distrib. Syst.*, 25(6), 1447–1463.
- Gong, Z., Gu, X., & Wilkes, J. (2010). PRESS: predictive elastic resource scaling for cloud systems. In *Proceedings of the 6th International Conference on Network and Service Management, CNSM 2010, Niagara Falls, Canada, October 25-29, 2010*, (pp. 9–16).
- Gulisano, V., Jiménez-Peris, R., Patiño-Martínez, M., Soriente, C., & Valduriez, P. (2012). Streamcloud: An elastic and scalable data streaming system. *IEEE Trans. Parallel Distrib. Syst.*, 23(12), 2351–2365.

- Gupta, D., & Bepari, P. (1999). Load sharing in distributed systems. In *In Proceedings of the National Workshop on Distributed Computing*.
- Hawwash, B., & Nasraoui, O. (2014). From tweets to stories: Using stream-dashboard to weave the twitter data stream into dynamic cluster models. In *Proceedings of the 3rd International Workshop on Big Data, Streams and Heterogeneous Source Mining: Algorithms, Systems, Programming Models and Applications, BigMine 2014, New York City, USA, Agosto 24, 2014*, (pp. 182–197).
- Hernández Sampieri, R., Fernández Collado, C., & Baptista Lucio, P. (2010). Metodología de la investigación. *México: Editorial Mc Graw Hill*.
- Hirzel, M., Soulé, R., Schneider, S., Gedik, B., & Grimm, R. (2013). A catalog of stream processing optimizations. *ACM Comput. Surv.*, 46(4), 46:1–46:34.
- Ishii, A., & Suzumura, T. (2011). Elastic stream computing with clouds. In *IEEE International Conference on Cloud Computing, CLOUD 2011, Washington, DC, USA, 4-9 July, 2011*, (pp. 195–202).
- Karp, R. M., Shenker, S., & Papadimitriou, C. H. (2003). A simple algorithm for finding frequent elements in streams and bags. *ACM Trans. Database Syst.*, 28, 51–55.
- Lehrig, S., Eikerling, H., & Becker, S. (2015). Scalability, elasticity, and efficiency in cloud computing: a systematic literature review of definitions and metrics. In *Proceedings of the 11th International ACM SIGSOFT Conference on Quality of Software Architectures, QoSA'15 (part of CompArch 2015), Montreal, QC, Canada, May 4-8, 2015*, (pp. 83–92).
- Leibiusky, J., Eisbruch, G., & Simonassi, D. (2012). *Getting Started with Storm - Continuous Streaming Computation with Twitter's Cluster Technology*. O'Reilly.
- Madsen, K. G. S., Thyssen, P., & Zhou, Y. (2014). Integrating fault-tolerance and elasticity in a distributed data stream processing system. In *Conference on Scientific and Statistical Database Management, SSDBM '14, Aalborg, Denmark, June 30 - July 02, 2014*, (p. 48).

- Neumeyer, L., Robbins, B., Nair, A., & Kesari, A. (2010). S4: distributed stream computing platform. In *ICDMW 2010, The 10th IEEE International Conference on Data Mining Workshops, Sydney, Australia, 14 December 2010*, (pp. 170–177).
- Nguyen, H., Shen, Z., Gu, X., Subbiah, S., & Wilkes, J. (2013). AGILE: elastic distributed resource scaling for infrastructure-as-a-service. In *10th International Conference on Autonomic Computing, ICAC'13, San Jose, CA, USA, June 26-28, 2013*, (pp. 69–82).
- Oberhelman, D. (2007). Coming to terms with Web 2.0. *Reference Reviews*, 21, 5–6.
- Papoulis, A. (1984). *Probability, Random Variables, and Stochastic Processes*. McGraw Hill.
- Pittau, M., Alimonda, A., Carta, S., & Acquaviva, A. (2007). Impact of task migration on streaming multimedia for embedded multiprocessors: A quantitative evaluation. In *Proceedings of the 2007 5th Workshop on Embedded Systems for Real-Time Multimedia, ESTImedia 2007, October 4-5, Salzburg, Austria, conjunction with CODES+ISSS 2007*, (pp. 59–64).
- Rogaway, P., & Shrimpton, T. (2004). Cryptographic hash-function basics: Definitions, implications, and separations for preimage resistance, second-preimage resistance, and collision resistance. In *Fast Software Encryption, 11th International Workshop, FSE 2004, Delhi, India, February 5-7, 2004, Revised Papers*, (pp. 371–388).
- S4 (2014). Distributed stream computing platform. [Online] <http://incubator.apache.org/s4/>.
- Samza, A. (2014). Samza. [Online] <http://samza.incubator.apache.org/>.
- Schneider, S., Andrade, H., Gedik, B., Biem, A., & Wu, K. (2009). Elastic scaling of data parallel operators in stream processing. In *23rd IEEE International Symposium on Parallel and Distributed Processing, IPDPS 2009, Rome, Italy, May 23-29, 2009*, (pp. 1–12).

- Shahrivari, S. (2014). Beyond batch processing: Towards real-time and streaming big data. *Computing Research Repository*, *abs/1403.3375*.
- Sheu, T., & Chi, Y. (2009). Intelligent stale-frame discards for real-time video streaming over wireless ad hoc networks. *EURASIP J. Wireless Comm. and Networking*, 2009.
- Stonebraker, M., Çetintemel, U., & Zdonik, S. B. (2005). The 8 requirements of real-time stream processing. *SIGMOD Record*, 34(4), 42–47.
- Storm (2014). Distributed and fault-tolerant realtime computation. [Online] <http://storm.incubator.apache.org/>.
- Sturm, R., Morris, W., & Jander, M. (2000). Foundations of Service Level Management.
- Tanenbaum, A. S., & van Steen, M. (2007). *Distributed Systems - Principles and paradigms*. Pearson Education.
- Taylor, H. M., & Karlin, S. (2014). *An introduction to stochastic modeling*. Academic press.
- Wenzel, S. (2014). App'ification of enterprise software: A multiple-case study of big data business applications. In *Business Information Systems - 17th International Conference, BIS 2014, Larnaca, Cyprus, Mayo 22-23, 2014. Proceedings*, (pp. 61–72).
- Xing, Y., Zdonik, S. B., & Hwang, J. (2005). Dynamic load distribution in the borealis stream processor. In *Proceedings of the 21st International Conference on Data Engineering, ICDE 2005, 5-8 April 2005, Tokyo, Japan*, (pp. 791–802).
- Xu, J., Chen, Z., Tang, J., & Su, S. (2014). T-storm: Traffic-aware online scheduling in storm. In *IEEE 34th International Conference on Distributed Computing Systems, ICDCS 2014, Madrid, Spain, June 30 - July 3, 2014*, (pp. 535–544).

ANEXO A. CONFORMACIÓN DE MATRIZ DE TRANSICIÓN

En el Algoritmo A.1 se puede apreciar la conformación de la matriz de transición dado la historia de un operador determinado.

Algoritmo A.1: Algoritmo para la conformación de la matriz de transición.

Entrada: ρ Historial de procesamiento de tamaño n del operador ϕ .

Salida: Γ Matriz de transición del operador ϕ .

```

1:  $\Gamma \leftarrow \text{Matriz}[3 \times 3]$  //Matriz de transición
2:  $\tau \leftarrow \text{Arreglo}[3]$  //Contador para la normalización de los datos
3: for  $i = 1$  a  $n$  do
4:   if  $\rho_i < 0.5$  and  $\rho_{i+1} < 0.5$  then
5:      $\Gamma_{1,1}++$ 
6:      $\tau_1++$ 
7:   else if  $\rho_i < 0.5$  and  $0.5 \leq \rho_{i+1} \leq 1$  then
8:      $\Gamma_{1,2}++$ 
9:      $\tau_1++$ 
10:  else if  $\rho_i < 0.5$  and  $\rho_{i+1} > 1$  then
11:     $\Gamma_{1,3}++$ 
12:     $\tau_1++$ 
13:  else if  $0.5 \leq \rho_i \leq 1.5$  and  $\rho_{i+1} < 0.5$  then
14:     $\Gamma_{2,1}++$ 
15:     $\tau_2++$ 
16:  else if  $0.5 \leq \rho_i \leq 1.5$  and  $0.5 \leq \rho_{i+1} \leq 1.5$  then
17:     $\Gamma_{2,2}++$ 
18:     $\tau_2++$ 
19:  else if  $0.5 \leq \rho_i \leq 1.5$  and  $\rho_{i+1} > 1.5$  then
20:     $\Gamma_{2,3}++$ 
21:     $\tau_2++$ 
22:  else if  $\rho_i > 1$  and  $\rho_{i+1} < 0.5$  then
23:     $\Gamma_{3,1}++$ 
24:     $\tau_3++$ 
25:  else if  $\rho_i > 1$  and  $0.5 \leq \rho_{i+1} \leq 1.5$  then
26:     $\Gamma_{3,2}++$ 
27:     $\tau_3++$ 
28:  else
29:     $\Gamma_{3,3}++$ 
30:     $\tau_3++$ 
31:  end if
32: end for
33: for  $i = 1$  a  $3$  do
34:   if  $\tau_i \neq 0$  then
35:    for  $j = 1$  a  $3$  do
36:       $\Gamma_{i,j} \leftarrow \Gamma_{i,j} / \tau_i$ 
37:    end for
38:   end if
39: end for
40: return  $\Gamma$  //Retorno de la Matriz de transición normalizada, la cual define la cadena de Markov

```
